

II-148 越流型水制の水理特性について

京都大学 工学部 正員 中川 博次
 京都大学 工学部 正員 鈴木 幸一
 大林組 福本 勝司

1. まえがき 河川流の減速を目的とした水制は単独ではなく一群によつてよりよい効果を得ることができる。ある間隔で連続的に設置された越流型水制群の模型粗度として流れに抵抗すると考えられる。¹⁾ 水路全幅に設計された模型粗度については、粗度の大きさに比して水深が大きい場合流速分布が対数分布則に従つており、抵抗は相当粗度の評価として多くの研究がなされてきた。しかし、水深に比して粗度の大きさが大きい場合、流速分布が変化し河床面の取り方が問題となり、流速の対数分布を前提としている相当粗度という概念で抵抗を表すとの物理的意味があいまいとなることが指摘されてきた。実際の水制は水深に比して水制高が大きく、このような場合相当粗度という概念で抵抗を表すことは適当ではなく、また二次元模型のまゝに水路全幅の粗度を変化させるのと異なつて水路の一部の粗度を変化させたため、粗度要素のほかに水制先端附近での混合効果が加わるので従来の模型と異なる研究の結果をそのまま水制に適用することはできない。本報告では、越流型水制が実河川で用いられている諸条件の範囲を対象として、水制の抵抗の大きさを抵抗係数の評価として実験的に求め、それによる流速低減効率について考察した。

2. 水制域の抵抗係数 f

流水がいくつかの水制を通過して、水制域から主流域への流水の流出が止むるにつれては、一定の水制域の平均流速を U_m とし、摩擦係数 f とすると、 $U_m/U_* = \sqrt{2/f}$ である。 U_m を支配する要素としては、流体の性質に関する流体密度 ρ 、粘性係数 μ 、水制の幾何要素の $l/B = m$ (l : 水制長、 B : 川幅)、設置間隔 s 、高さ h_d 、水制の流向方向の高さ、流体の運動に関する水深 h 、エネルギー勾配 i 、重力加速度 g などが考へられる。エネルギー勾配 i のみならず、 h_d を用いて次式解析を行つた若干の变形を加えよう。

$$\frac{U_m}{U_*} = \sqrt{\frac{2}{f}} = F \left(\frac{U_*^2}{gh_d}, \frac{h}{h_d}, \frac{s}{h_d}, \frac{U_* h_d}{\rho}, \frac{i}{h_d}, m \right) \quad (1)$$

と表わされる。ここで、 $U_* h_d / \rho$ は一般に本実験のようにある程度以上大きくないと影響が大きいと見らるるし、 i/h_d の効果は大成極端に大きい場合 (大成 i) は s/h_d の効果に含まれる。 s/h_d は抵抗係数に与える水制下流域のスケールと次の水制の位置との関係によつてエネルギー損失効果が増進することを意味し、 h/h_d ($\approx h_0/h_d$)、 U_*^2/gh_d ($\approx U_{m0}^2/gh_d$) は移動床河床波における河床波の抵抗係数に影響を与える要素として認められているが、水制群が河床波にアタリうる面も多いので河床波のときと同じ意味をもつものと考えられる。式の関係は実験的に検討するより方法がない。

$f \sim m$ 図1にみられるように、本実験の場合 $m=0.2$ 前後で f が最大となつており、 $m > 0.2$ でやや減少していふが、このことは m が小さい方がよく、 f の推算式 $(h_d/l)^{0.22} \cdot m > 2.5$ の範囲で m は小さくすべきである²⁾ といふことの妥当性を裏付けていふ。

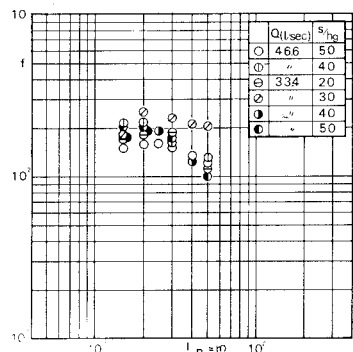


図1 m の抵抗係数への影響

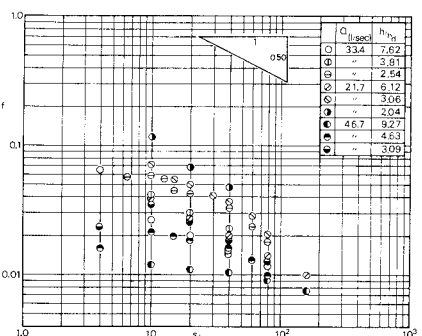


図2 無次元設置間隔 s/h_d と抵抗係数 f の関係

$f \sim S/hd$ 図-2にみられるように、 $S/hd \approx 10 \sim 60$ の範囲で認められる。 h/hd 溝型粗度に属し、 $S/hd \approx 1 \sim 2$ の場合は従って減少しており、 $S/hd = 10$ で f が最大となるとされる従来二次元溝粗度の研究で得られた結果と一致している。

$f \sim h/hd$ 図-3にみられるように、 $h/hd < 10$ の場合 f は h/hd に強く影響されることは $f \sim (h/hd)^{-0.77}$ の関係が認められる。粗度要素に比して水深が大きい場合は当然ながら抵抗は小さいこととされているが、流速が大きい場合は -0.77 乗かる因子ゆるやかに f が減少する。

$f \sim U_{mo}/\sqrt{ghd}$ 図-4は f と U_{mo}/\sqrt{ghd} との関係を示したものである。実験範囲にて全領域に対して、 $f \sim (U_{mo}/\sqrt{ghd})^{-1.47}$ の関係が認められる。以上実験結果を総合すると、

$$f = K(S/hd)^{-0.5} \cdot (h/hd)^{-0.77} \cdot (U_{mo}/\sqrt{ghd})^{-1.47} \quad (2)$$

として、抵抗係数 K が実験的に表わされる。ここで、 K は実験定数で 0.3 から 0.6 程度の値となり、(2)式の適用範囲は $10 < S/hd < 60$ 、
 $2.5 < h/hd < 10$ 、 $m = l/B < 0.2$ である。

3. 水制減による流速低減効果

図-5は示すように水制減の諸量にはサフィックス 2 を主流域のものに付す。水制減以後の水深は 0 まで下り、平均水深は h/m で表すと、一般領域に対しては、

$$i_1 = i_2 = i_0 = f_0 \frac{U_{mo}^2}{2gh_0} \quad \text{ただし } h_1 + h_2 = h \quad \text{であることを} \quad (3)$$

考慮すると、 $U_{m1} = U_{m2} \cdot \sqrt{f_2/f_1}$ が得られ、連続式

$$U_{m1} h_1 + U_{m2} h_2 m = U_{mo} h_0 \quad \text{を用いると、}$$

$$\frac{U_{m2}}{U_{mo}} = \left[\frac{1}{\frac{f_2}{f_0} \cdot \sqrt{\frac{f_2}{f_1} (1-m) + m}} \right]^{\frac{1}{3}} \quad (3)$$

より、水制減によって最終的な水深の割合の場合と比べて流速が少しおよそ減少することが求めることである。(3)式において $f_1 = f_0$ とし、 f_2 は(2)式によつて計算される。図-2は $m = 0.2$ 、 $h_0 = 7.62 \text{ cm}$ 、 $U_{mo} = 44.3 \text{ cm/s}$ で $h/hd = 2.54, 3.81, 7.62$ の場合の U_{m2}/U_{mo} と h/hd との関係を実験的につき求めてあるのであり、曲線は(3)式である。(3)式の定数 K は 0.5 としている。この例では、 $h/hd = 2.54, 3.81$ のときには(2)式の実験値と(3)式の値は一致しない。 $h/hd = 7.62$ の場合(2)式と本めぐらの f_2 の減少は誤差土れどおり、 $K = 0.6$ とすると修正すべきことであると、実験的につき定数 K の範囲が 0.3~0.6 の通りであるのが問題であるが、(2)式で求めた f_2 を用いた(3)式はほぼ現象を説明していると言えね。

4. まとめ 本報告では特に実際の水制減を想定して水制減の抵抗係数の適用範囲は 2.5 < h/hd で $h/hd < 10$ である。水制減の目的の一つである流速低減効果につれて上記求めた抵抗係数を用いて現象をよく説明することができたが、実際の水制減設計におけるは最終的な流速低減率と同様、遷移領域の特性も考慮しなくてはならない。

<参考文献> 1) 松原, 則, 荘田, 坂上, 土屋: 水制減に関する研究, 土研報告, 1959

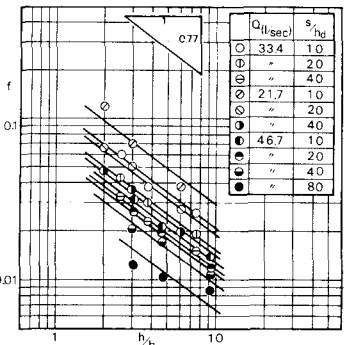


図-3 滞流水深 h/hd と抵抗係数 f の関係

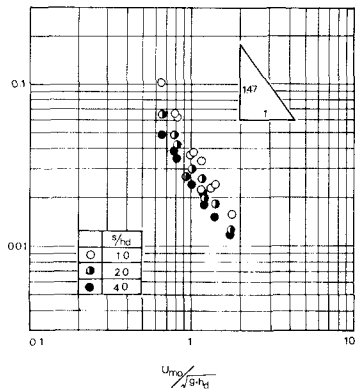


図-4 U_{mo}/\sqrt{ghd} と抵抗係数 f の関係

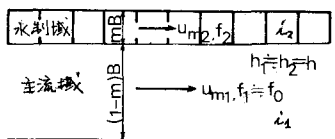


図-5 記号図

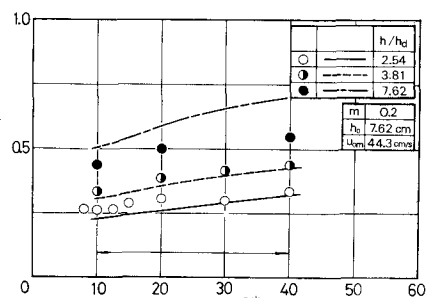


図-5 流速低減率 U_{m2}/U_{mo} と h/hd の関係